

13

АКАДЕМИЯ НАУК СССР СИБИРСКОЕ ОТДЕЛЕНИЕ  
ИНСТИТУТ ЯДЕРНОЙ ФИЗИКИ

препринт 246

Н.И.Алиновский, В.Г.Еселеvич, Н.А.Кошелев,  
Р.Х.Куртмуллаев

ИССЛЕДОВАНИЕ ЭНЕРГЕТИЧЕСКОГО  
СПЕКТРА ИОНОВ В ПЛАЗМЕ,  
НАГРЕТОЙ УДАРНОЙ ВОЛНОЙ

Новосибирск  
1968

Н.И.Алиновский, В.Г.Еселеvич, Н.А.Кошелев,  
Р.Х.Куртмуллаев

## ИССЛЕДОВАНИЕ ЭНЕРГЕТИЧЕСКОГО СПЕКТРА ИОНОВ В ПЛАЗМЕ, НАГРЕТОЙ УДАРНОЙ ВОЛНОЙ

### А Н Н О Т А Ц И Я

При помощи метода пассивной корпускулярной диагностики исследованы энергетические спектры ионов в плазме, нагретой ударной волной, и определены моменты и места старта частиц в зависимости от числа Маха возбуждаемой волны.

Показано, что при  $M \geq 3$  наблюдается старт ионов раньше момента кумуляции волны, что можно объяснить возникновением взаимопроникающих потоков частиц при "опрокидывании" фронта волны.

Относительная ширина энергетического спектра частиц и корреляция выхода нейтральных частиц вдоль и поперёк направления распространения волны говорят о сильной бесстолкновительной диссиpации энергии во всех исследованных режимах.

Информация об энергетическом спектре ионов в плазме, нагретой в результате излучения энергетического распределения ионов, полученная при помощи гаммой спиральной камеры в дифракционном методе, представлена в таблице.

Одной из наиболее интересных проблем, связанных с бесстолкновительной ударной волной, является вопрос о механизме диссипации энергии волны в условиях, когда парные столкновения несущественны. Исследование этой проблемы имеет две стороны: объяснение структуры фронта ударной волны, тесно связанной с турбулентной диссипацией, происходящей, во фронте, и установление относительной эффективности нагрева электронной и ионной компонент плазмы в зависимости от начальных условий и параметров волны.

Ряд экспериментальных работ /1/, выполненных с использованием различных прямых и косвенных методов, показали, что в волне при числах Маха  $M$ , меньших некоторого критического  $M^*$  =  $3 \div 4$ , диссипация энергии во фронте обусловлена, главным образом, турбулентным сопротивлением, что приводит к преимущественному нагреву электронов (в согласии с теорией /2/).

Однако результаты /3/, полученные при  $M > M^*$ , дают основания предполагать, что в этих условиях становится существенным нагрев ионной компоненты.

Картина развития физических процессов, происходящих при  $M > M^*$ , полученная на основе исследования макроструктуры фронта волны (профили плотности  $\rho$ , электрического поля  $E$ , магнитного поля  $H$ ) и макроструктуры электрических и магнитных флюктуаций /4/ не противоречит гипотезе, высказанной Р.З.Сагдеевым /5/, что при превышении числом Маха некоторого критического значения можно ожидать "опрокидывание" фронта, образующее взаимопроникающие потоки ионов с последующим развитием ион-ионной неустойчивости.

В настоящей работе предпринята попытка провести непосредственно измерение энергетического спектра ионов при волновых возмущениях плазмы и проверить качественные и количественные зависимости ионного нагрева с определенной структурой фронта и параметрами процесса.

Информация об энергетическом спектре ионов в плазме получилась в результате изучения энергетического распределения нейтралов перезарядки при помощи газовой обтирочной камеры и дифференциального анализатора заряженных частиц по энергии.

## Экспериментальная установка

Опыты проводились на установке УН-4 /6/, схема которой вместе с диагностической аппаратурой показана на рис.1.

Плазма, создаваемая в цилиндрическом стеклянном объёме  $\varnothing = 16$  см, помещенном в квазистационарное магнитное поле ( $H_0 = 10^2 \div 10^3$  э), подвергалась сжатию быстро нарастающим полем ( $H_0 = 2 \div 3$  кэ), которое получалось в результате разряда малоиндуктивного конденсатора ( $C = 0,6$  мкф,  $U = 40$  кв) на короткозамкнутый виток. Возникающая цилиндрическая ударная волна распространялась к оси и кумулировала. Её скорость и трансформация ударного фронта определялись при помощи 2-х магнитных зондов, расположенных на расстоянии  $\zeta_1 = 24$  и  $\zeta_2 = 39$  мм от оси, соответственно.

Диагностическая установка состоит в основном из газовой обтирочной камеры (обтирка на водороде,  $p \approx 6 \cdot 10^{-4}$  мм рт.ст.) и электростатического анализатора заряженных частиц по энергии, сделанного на основе цилиндрического конденсатора /7/.

Регистрация ионов ведется при помощи открытого электронного умножителя (ЭУ) типа ВЭУ-ОТ-8М. В данных опытах важными являлись, главным образом, относительные измерения в течение одного опыта, поэтому медленное понижение чувствительности со временем, характерное для подобных ЭУ, практически не влияло на результат.

Тракт прохождения ионов экранирован от действия квазистационарного магнитного поля.

Перед входом в обтирочную камеру установлен конденсатор, отклоняющий ионы, которые при исследовании вдоль магнитного поля могут идти вместе с нейтралами и в значительной мере усложнить наблюдаемую картину.

Относительное высокое добавочное усиление ( $\approx 10^4$ ), обусловленное малым уровнем сигнала, и коммутация довольно больших мощностей непосредственно перед самым приходом сигнала, заставили обратить серьезное внимание на помехозащищенность диагностической аппаратуры. Предпринятые специальные меры обеспечили практически полное отсутствие электромагнитных на-водок.

Более подробные сведения о конструкции диагностической аппаратуры и результатах её калибровки будут опубликованы дополнительно.

Все основные опыты проведены при помощи двух одновременно включаемых анализаторов. Один из них - "продольный" - подключался к торцу установки (в 2 см от оси). Второй "поперечный" - устанавливался по диаметральному и хордовому (в 2 см от диаметра) направлениям примерно в среднем сечении витка.

#### Требования к методу диагностики.

Исследования быстрых процессов в плазме предъявляют к методам диагностики серьезные требования в их пространственном и временном разрешении, точности отсчёта времени и чувствительности.

Рассмотрим эти требования, определяемые спецификой изучаемого процесса.

Пространственное разрешение должно соответствовать характерному масштабу - ширине ударного фронта  $\Delta$  :

$$\Delta \approx 0,5 \text{ см} \quad \text{при} \quad M < M^*$$

$$\Delta \approx 2 \div 3 \text{ см} \quad \text{при} \quad M > M^*$$

$$(\text{при } n_i \sim 10^{14} \text{ см}^{-3})$$

Требование к временному разрешению определяется пара-метром  $T \approx \frac{\Delta}{U}$ , где  $U$  - скорость волны,

$$T \approx 25 \text{ nsec} \quad \text{при} \quad M < M^*$$

$$T \approx 150 \text{ nsec} \quad \text{при} \quad M > M^*$$

Наша аппаратура удовлетворяла, в основном, этим требованиям. Так, при достигнутой чувствительности, обеспечивающей уверенную регистрацию сигнала, угловая апертура анализатора составляла  $\approx 10^{-2}$  радиан, что позволяло "просматривать" на оси плазменной установки участок с линейным размером, не превышающим 7-8 мм.

Временное разрешение в нашем случае определялось, в основном, широкополосностью радиотехнического тракта. Регистра-

ция сигналов с магнитных зондов и с ЭУ велась при помощи отдельных осциллографов ДЭСО-1, которые вместе с добавочными усилителями обеспечивали ширину полосы  $\Delta f \approx 60$  мГГц.

Абсолютная ошибка в отсчете времени, как легко понять, должна быть, по крайней мере, на порядок меньше времени схождения волны к оси  $\Delta t \approx \frac{R}{c}$ , т.е. в нашем случае составлять  $30 \div 50$  нсек. Этому требованию особенно трудно удовлетворить при регистрации частиц малой энергии, так как их времена пролёта по тракту анализатора составляют несколько мксек.

В этом случае для повышения точности при помощи генератора сдвоенных импульсов производилась задержка запуска осциллографа, регистрирующего сигнала с ЭУ, и строб-импульса, дающего начало отсчёта, на интервал времени несколько меньший пролётного. Специальные исследования показали, что максимальная ошибка, возникающая из-за нестабильности работы генератора и регистрирующей аппаратуры при наибольших задержках ( $\sim 3\text{-}4$  мксек) не превышает 30-40 нсек. Вводимая задержка даёт возможность производить регистрацию сигнала на относительно коротких развертках осциллографа (0,6 и 1,2 мксек), обеспечивая тем самым высокую точность отсчёта.

Относительная ошибка в измерении расстояний не превышала 0,3%.

При определении времени пролёта частиц учитывалась задержка сигнала с ЭУ и сигнальных кабелях ( $\approx 40$  нсек).

Конечная энергетическая ширина щелей анализатора (6 %) также вносит ошибку в отсчёт времени, однако её можно учесть, считая, что начало сигнала обусловлено приходом более быстрых частиц из энергетического интервала.

При исследовании быстрых процессов в плазме можно (по крайней мере, для их начальной стадии) пренебречь приходом в плазму нейтрального газа, десорбированного со стенок камеры, являющегося в случае медленных процессов /8/ наиболее вероятной перезарядной мишенью для ионов. В нашем случае перезарядка должна идти, в основном, на нейтрализаторах плазмы. Основываясь на этом утверждении, можно оценить порядок необходимой для регистрации сигнала чувствительности диагностической аппаратуры. Грубая оценка показывает, что для плазмы со следующими пара-

метрами: плотность ионов  $N_i \sim 10^{13} \div 10^{14} \text{ см}^{-3}$ , степень ионизации  $\sim 90\%$ , температура ионов  $\sim 10^2$  эв, эквивалентные токи нейтральных частиц в телесном угле, вырезаемом анализатором, имеют порядок  $10^{-6} - 10^{-8}$  а. Учитывая коэффициент преобразования нейтральных частиц в заряженные ( $d \simeq 10^{-4} \div 10^{-2}$ ) в ободирочной камере и чувствительность ДЭСО-1 ( $\sim 10^{-3}$  а/см при 75-омном входном сопротивлении), находим, что дополнительное усиление по току должно быть порядка  $10^9$ . Это достигается при помощи электронного умножителя ( $\sim 10^6$ ) и дополнительного усилителя ( $\sim 10^4$ ).

### Методика обработки экспериментальных данных.

Приближенную картину моментов старта можно получить, задаваясь определенным расстоянием пролёта (предполагая, например, старт частиц с оси). Приводя сигналы к процессу, получим в результате картину, подобную показанной на рис. 2а и 2б. Таким образом точно может быть установлен только момент кумуляции. Временное соответствие сигналов другим фазам волны будет найдено с точностью до времени, соответствующего неопределенности, в месте старта частиц ( $\Delta t = 0 - \frac{R}{v}$ ), где  $v$  — скорость частиц.

Более полную и точную информацию о месте и моменте старта частиц даёт метод, основанный на использовании пространственно-временной картины процесса (см. рис. 3), показывающий изменение во времени положения фронта ударной волны (а) и магнитного поршня (б). Картина строится на основе данных, получаемых при помощи магнитных зондов.

Пространственно-временная картина движения частиц, покинувших фронт, восстанавливается по известным данным: времени прихода частиц в анализатор и их энергии. Полученные траектории (в, г), наклон которых определяется скоростью частиц, являются геометрическим местом возможных стартов частиц. Реальное место и момент старта находятся по пересечению траекторий фронта (а) и частиц (в, г).

Для выяснения вопроса о хаотизации энергии ионов и волне большое значение имеет определение на основе экспериментальных данных функции распределения ионов по энергии в любой момент

Её можно получить, как будет показано в следующей нашей работе, при помощи выражения:

$$\frac{dn_i}{dE} = f(E) = \frac{J \cdot e^{B n_i X}}{\kappa' \cdot \alpha \cdot E^{3/2} \cdot B}$$

где  $J$  - выходной ток ЭУ,

$\kappa'$  - коэффициент усиления ЭУ,

$\alpha$  - коэффициент обтирки нейтральных частиц в обтирочной камере,

$B$  - коэффициент, не зависящий от энергии,

$A = e^{B n_i X}$  - коэффициент, учитывающий ослабление нейтрального пучка в поперечном магнитном поле при прохождении им плазмы,

$n_i X$  - толщина плазменной мишени,

$\sigma$  - сечение перезарядки атома водорода на протоне.

Учёт коэффициента  $A$  необходим лишь при исследовании глубинных процессов в плотной плазме ( $n_i X \gtrsim 10^{15} \text{ см}^{-2}$ ). Для менее плотной плазмы, или когда эмиссия нейтралов идёт из её поверхностного слоя,  $A \sim 1$ . Из вида энергетической зависимости сечения перезарядки /9/ можно сделать вывод, что пренебрежение ослаблением потока нейтральных частиц, при их прохождении через плазму, ведет к некоторому (~30% при  $n_i X \sim 10^{15} \text{ см}^{-2}$ ) завышению температуры ионов.

В определении функции распределения  $\frac{dn_i}{dE} = f(E)$  важна, главным образом, её форма, поэтому оставляется без внимания коэффициент  $B$ , не зависящий от энергии, и энергетическое распределение  $\frac{dn_i}{dE}$  строится в относительных единицах.

Если функция распределения далека от максвелловской, то о степени хаотизации ионов можно приближенно судить по относительной ширине энергетического спектра.

Интересно сравнить получаемые функции распределения с максвелловской. Сравнение даёт возможность увидеть степень отклонения от максвелловской функции и в случае малости отклонения определить температуру ионов  $T_i$ . Её можно найти по катаангенсу наклона прямых, выражающих следующие зависи-

мости:

для изотропной максвелловской функции

$$\ln \frac{\gamma \cdot e^{6n_i x}}{K' \cdot \alpha \cdot E^2 \cdot 6} = -\frac{E}{K \cdot T_i} + \ln C_1, \quad (1)$$

для максвелловской функции, изотропной в 2-х направлениях (например, в  $\varphi$ -й плоскости в случае цилиндрической геометрии):

$$\ln \frac{\gamma \cdot e^{6n_i x}}{K' \cdot \alpha \cdot E^{3/2} \cdot 6} = -\frac{E}{K \cdot T_i} + \ln C_2, \quad (2)$$

для анизотропной максвелловской функции:

$$\ln \frac{\gamma \cdot e^{6n_i x}}{K' \cdot \alpha \cdot E \cdot 6} = -\frac{E}{K \cdot T_i} + \ln C_3. \quad (3)$$

Здесь  $C_1, C_2, C_3$  - произвольные постоянные.

Недостаток статистики, как правило, не даёт возможности по отклонению от прямолинейности кривых (1), (2) и (3) определить, какая из трех максвелловских функций имеет место для ионов в плазме, поэтому обычно ведется расчёт для всех трёх случаев и определяется нижний и верхний предел температуры ионов.

Описанный метод определения температуры связан, по существу, с высокоэнергетической частью распределения, так как, в основном, она определяет наклон прямой. Поэтому полученная этим методом температура может отличаться, вообще говоря, от  $T_i$ , определенной по энергии, при которой наблюдается максимум функции распределения, если последняя искажена, например, направлением движением ионов.

Экспериментальные результаты, как отмечалось выше, исследования структуры фронта волны в зависимости от числа Маха показали, что вблизи некоторого критического числа  $M=3 \div 4$  происходят качественные изменения распределения электрических и магнитных полей и плотности плазмы во фронте волны.

Характер перестройки фронта: образование вытянутого подножия, существенное уширение фронта /10/, изменение относительного сдвига профилей  $n, \epsilon, H$ , изменение спектра электромагнитных флуктуаций /4/ и др. согласуется с гипотезой, высказанной в /5/, об опрокидывании сильной ударной волны, формиро-

вации взаимопроникающих потоков ионов и развитии турбулентной вязкости.

В излагаемых опытах, развивающих эти исследования, делается попытка непосредственно установить нарушение однопотоковости движения ионов за фронтом волны, хаотизацию ионных скоростей и зависимость этих эффектов от фазы волнового процесса.

Наиболее убедительным способом установления многопотоковости могла бы явиться регистрация частиц, идущих в сторону, противоположную направлению движения фронта, до её кумуляции. Поэтому в настоящей работе основное внимание уделено определению места и момента старта частиц, покидающих фронт, в зависимости от числа Маха.

Рассмотрим режим с  $M > M^*$ .

Волна достигает критической амплитуды на расстоянии 3-4 см от оси, что видно по появлению подножия на сигнале с магнитного зонда (рис.2). При этом первые ионы, движущиеся "назад" относительно направления распространения волны, появляются существенно раньше момента кумуляции волны на оси. Для более точного определения места и момента старта этих ионов сделано пространственно-временное построение (рис.3). С учётом ширины фронта и конечности энергетического интервала, определяемого шириной щелей анализатора, при пересечении прямой 2 ( $E = 244$  эв) с траекторией движения волны получается область 1 (рис.3), которая с точностью до 1-2 см совпадает с местом начала "опрокидывания" фронта. Появление ионов при  $M > M^*$ , идущих в направлении, обратном распространению волны, до её кумуляции свидетельствует о возникновении взаимопроникающих потоков при "опрокидывании".

Начиная с этого момента и вплоть до кумуляции ударного фронта, ионный сигнал имеет медленно нарастающее "подножие" (рис.2а), в спектре которого фиксируются максимальные энергии до  $\sim 500$  эв, что составляет  $(3 \div 4) \cdot \frac{m_i \cdot u^2}{2}$ . (Нижний предел определялся чувствительностью аппаратуры и составлял  $\sim 100$  эв). Температура, полученная по "хвосту" распределения,  $T_i \sim 70 - 100$  эв ( $n_i \sim 3 \cdot 10^{14} \text{ см}^{-3}$ ) согласуется величиной поступательной энергии ионов в волне.

Сама функция распределения ионов по энергии в "подножии" сигнала отличается от максвелловской.

Интересно отметить, что "хордовые" измерения практически дают те же результаты, что и диаметральные (рис.4). Совокупность фактов, полученных при  $M > M^*$ , говорит, по крайней мере, о частичной хаотизации ионных скоростей в рассматриваемой области.

Данные продольного анализатора, к сожалению, не могут быть использованы для достаточно точного определения места и момента старта частиц, поскольку время их движения вдоль ударного витка превосходит время движения волны до оси системы. Поэтому результаты, полученные с продольным анализатором, привлекаются, в основном, для выяснения степени хаотизации ионных скоростей, усредненных по всем процессам (включая кумуляцию волны).

При схождении волны на оси возрастает выход ионов из области кумуляции и подножие ионного сигнала переходит в более крутую фазу основного сигнала (рис.2а), дальнейший рост которого вплоть до максимума связан с тремя основными процессами:

- 1) продолжением кумуляции ударного фронта,
- 2) адиабатическим поджатием столба плазмы нарастающим магнитным поршнем,
- 3) движением волны к стенкам камеры после отражения от оси.

В какой-то мере временной масштаб ионных сигналов зависит также и от конечных пространственных размеров области старта ионов.

Энергетическое распределение ионов, стартующих из области кумуляции, имеет максимум при  $E \approx 250$  эв (рис.4). Сам спектр довольно широк (максимальная энергия  $E \approx 1,6$  кэв, т.е. в  $\sim 10$  раз превышает направленную энергию волны), хотя и отличается от максвелловского.

Оценка температуры для области кумуляции волны по зондам с учётом адиабатического поджатия и по "хвосту" распределения дают значения  $T_i$  одного порядка.

Одновременная регистрация ионов, идущих вдоль оси системы из этой области, говорит о практическом равенстве продольной и поперечной температур (см.таблицу 1).

Таблица 1

№	T (эв)			T (эв)			П р и м е ч а н и е
	1	2	3	1	3		
I	70	110	-	-	-		"опрокидывание"
II	160	190	240	170	230		кумуляция
III	150	180	250	160	230		Расширение плазменного столба
IV	200	240	340	140	300		Кумуляция на 2-ом полупериоде

Расчёт температуры велся по трём предполагаемым видам изотропизации максвелловской функции.

В данном эксперименте амплитуда поршня синусоидально зависит от времени, поэтому вслед за максимальным сжатием следует его спад до нуля, приводящий к расширению плазмы. Этому процессу по времени соответствует наиболее интенсивный ионный сигнал (рис.2а), который можно объяснить появлением плотной перезаряженной мишени. В этом случае можно было ожидать адиабатическое охлаждение плазмы, однако оно не фиксируется достаточно чётко так как, по-видимому, лежит в пределах точности измерений (см.таблицу 1).

Температура на последующей фазе сжатия (на 2-ом полуperiode тока ударного контура), как видно из таблицы 1, возрастает незначительно (30%) по сравнению с  $T_i$  в первом полуperiode.

Рассмотрим режим с  $M < M^*$ . С уменьшением амплитуды волны область 1 (рис.3) смещается к оси, и при  $M < M^*$  появление первых ионов на анализаторе соответствует уже момен-

ту кумуляции волны (см.рис.2 б) или еще более поздним процессам (отражение волн и т.п.). Дальнейший рост ионного сигнала, так же, как и в случае  $M > M^*$ , связан с продолжением кумуляции, последующим отражением волн и адиабатическим поджатием плазменного столба нарастающим магнитным поршнем (рис. 2б).

Температуры ионов, стартующих в определенных стадиях процесса, приведены в таблице II.

Таблица II.

№	T (эв)		T (эв)		П р и м е ч а н и е
	1	3	1	3	
II	210	400	170	220	Кумуляция
III	220	410	120	150	Расширение плазмы
IV	250	500	160	200	Кумуляция на 2-ом полупериоде

Как видно из таблицы II, наблюдается систематическое превышение поперечной температуры над продольной приблизительно в 2 раза. Присутствие в спектре довольно энергичных ионов ( $E \sim 3$  кэв) говорит о частичной хаотизации, но меньшей, чем в режиме с  $M > M^*$ .

Оценка температуры  $T_i$  при кумуляции по скорости волны и с учётом нагрева в результате адиабатического поджатия плазменного столба даёт значение по порядку величины, совпадающее с  $T_i$ , определяемой при помощи анализатора.

Как и в предыдущем режиме, значительного повышения температуры при кумуляции волны на 2-ом полупериоде не наблюдается.

В режиме предельно малых концентраций ( $n_i \sim 5 \cdot 10^{12} \text{ см}^{-3}$ ) обработка результатов, относящихся к первому полупериоду тока ударного контура, затруднена тем, что происходит эмиссия лишь

одиночных частиц. При кумуляции волны, формирующейся во втором полупериоде, зарегистрированы максимальные температуры  $T = 600 - 1000$  эв (см.рис.5). (Наблюдаемый на рисунке излом прямой может быть связан как с наличием в плазме двух областей с различными температурами ионов, так и с возможной систематической ошибкой в определении момента старта частиц разной энергии).

При этом наблюдается практическое равенство поперечной и продольной температур. В энергетическом спектре имеются ионы с энергией в  $\sim 10$  раз превышающей  $\frac{m_i \cdot U^2}{2}$ , что говорит об интенсивной термализации в условиях сильной "бесстолкновительности".

Исследования ударных волн с большей скоростью распространения затруднены из-за аппаратурного предела в регистрации высоконергетической части распределения (макс.  $E \sim 10$  кэв) и ослабления сигнала.

#### Выводы

Изложенные результаты дают возможность сделать следующие выводы:

1. При  $M > M^*$  ионы эмитируются "назад" относительно направления распространения волны до её кумуляции, что может быть объяснено возникновением взаимопроникающих потоков ионов.
2. При  $M < M^*$  старт частиц и хаотизация их скоростей наблюдаются после кумуляции волны на оси системы.
3. Относительная ширина энергетического спектра частиц, с максимальной энергией на порядок превышающей направленную энергию ионов в волне, указывают на достаточно эффективную хаотизацию скоростей ионов.
4. "Опрокидывание" волны усиливает хаотизацию ионов при её кумуляции.
5. Температура, найденная из энергетического спектра частиц, в общем согласуется с поступательной энергией ионов в волне.
6. В режиме малой концентрации (при  $M < M^*$ ) при кумуляции волны также наблюдается достаточно сильная бесстолкновительная диссиpация энергии волны и хаотизация ионных скорос-

тей. Максимальная температура, наблюдаемая в водороде при  
 $n_i \sim 5 \cdot 10^{12} \text{ см}^{-3}$   $T_i \sim 1 \text{ кэв.}$

В заключение авторы благодарят Р.З.Сагдеева, по инициативе которого была выполнена данная работа, В.И.Пильского за ценные советы, А.Т.Алтынцева и А.С.Ткачук за помощь в работе.

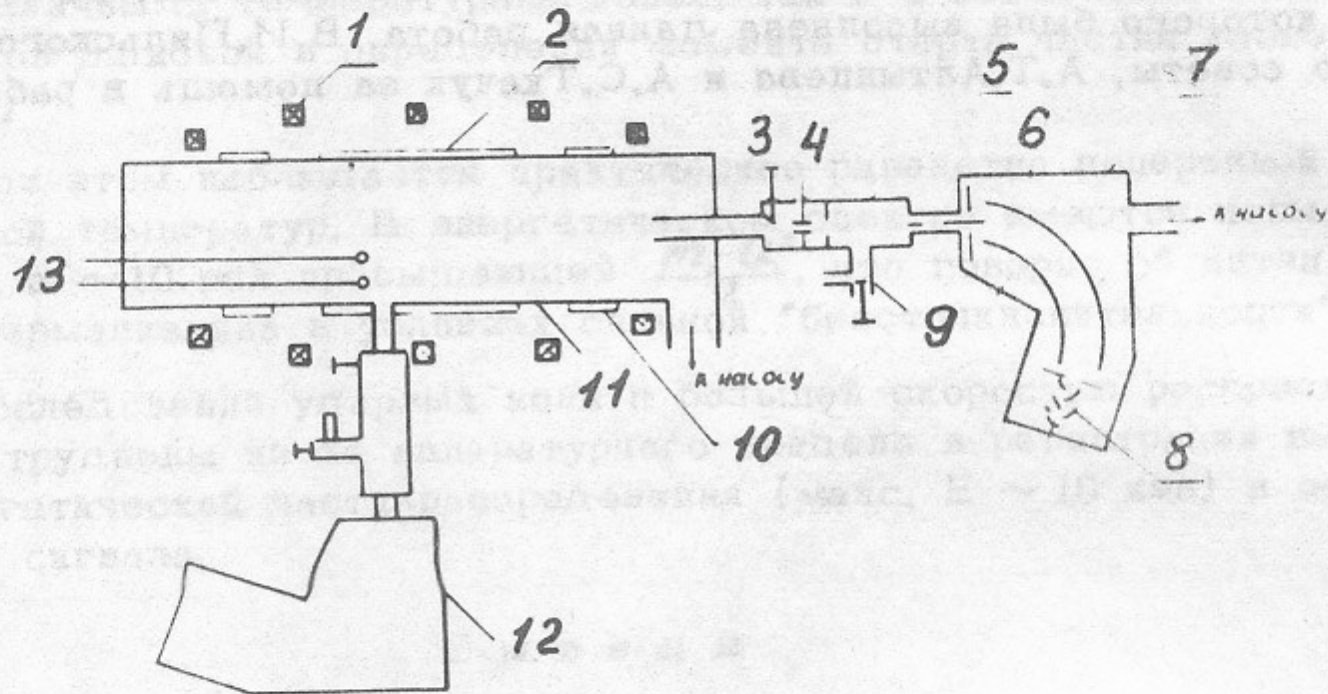


Рис.1. Схема экспериментальной установки.

- 1 - катушки квазистационарного магнитного поля,
- 2 - ударный виток,
- 3 - вакуумный клапан,
- 4 - отклоняющий конденсатор,
- 5 - обдирочная камера,
- 6 - цилиндрический конденсатор,
- 7-12 - анализатор заряженных частиц по энергии,
- 8 - электронный умножитель,
- 9 - натекатель,
- 10 - виток предыонизации,
- 11 - вакуумная камера
- 13 - магнитные зонды.

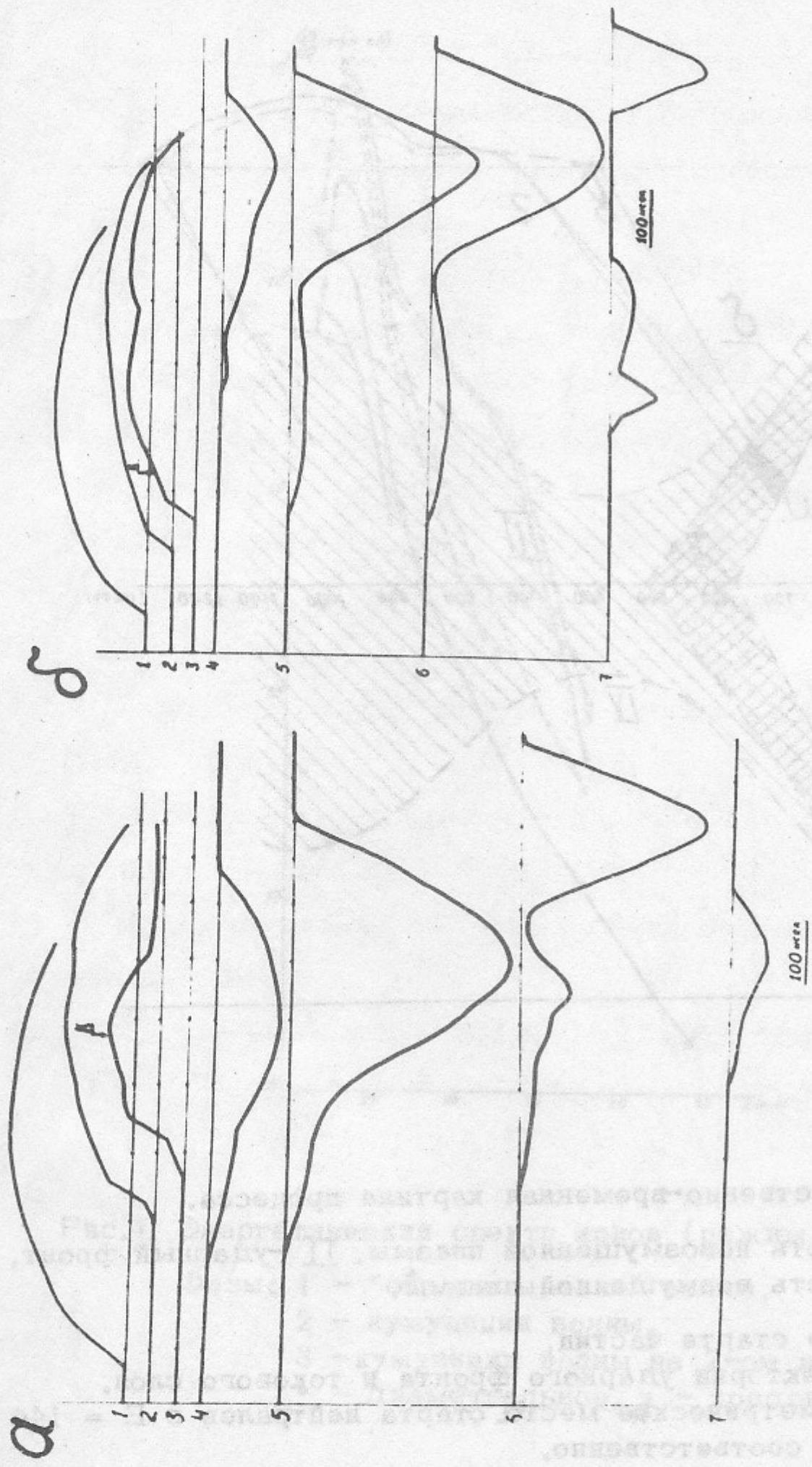


Рис.2. Типичные осциллограммы:

1 - ток ударного контура, 2,3 сигналы с магнитных зондов,  
4-7 сигналы с ЭУ от ионов с энергиами: 142, 244, 474 и 948 эВ,  
соответственно.

а)  $M > M^*$ , б)  $M < M^*$ .

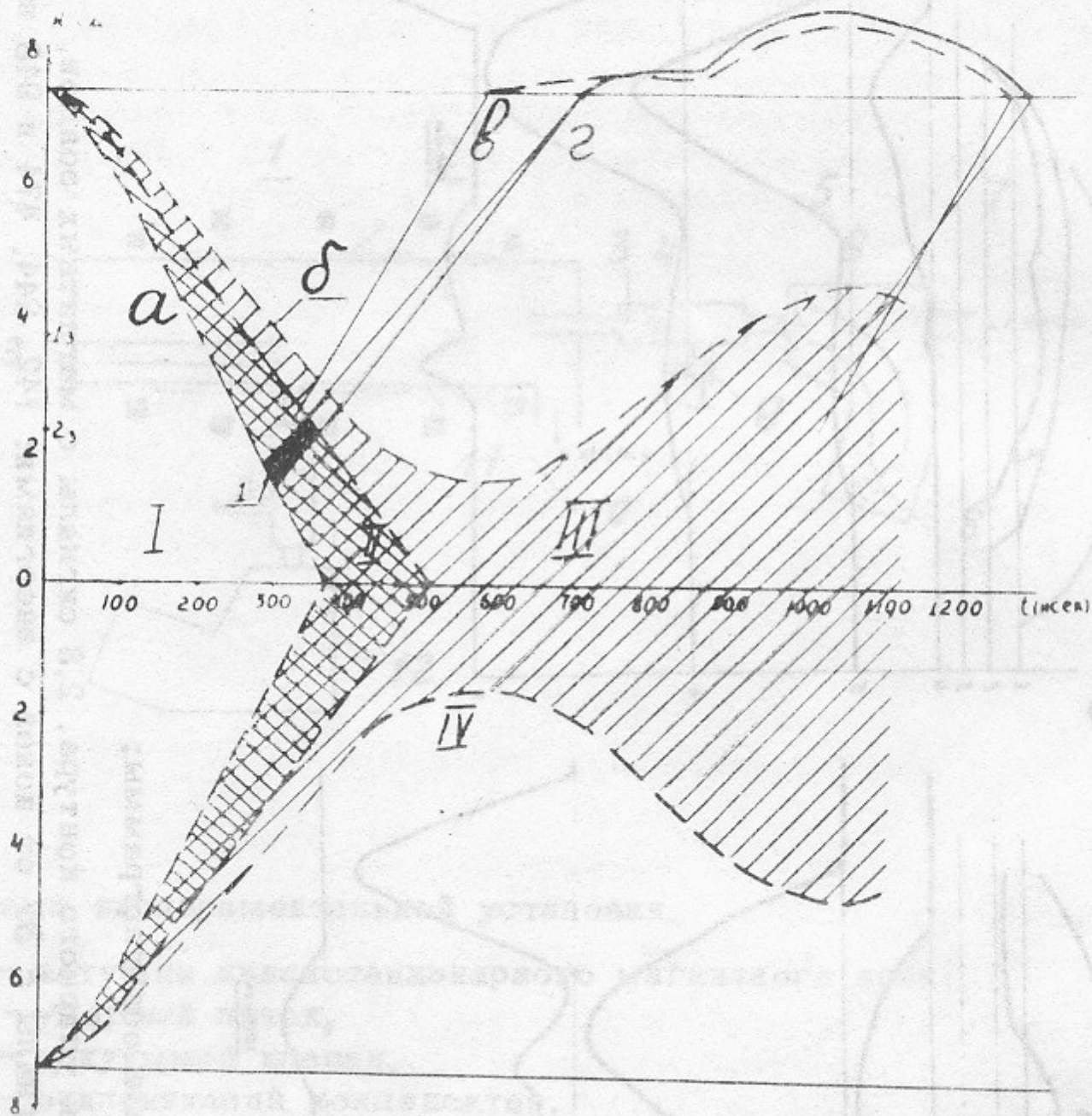


Рис.3. Пространственно-временная картина процесса.

I - область невозмущенной плазмы, II - ударный фронт,  
III - область возмущенной плазмы,

1 - место старта частиц,

а,б) - траектории ударного фронта и токового слоя,

а,г) - геометрические места старта нейтралов с  $E = 144$  и  $244$  эв, соответственно,

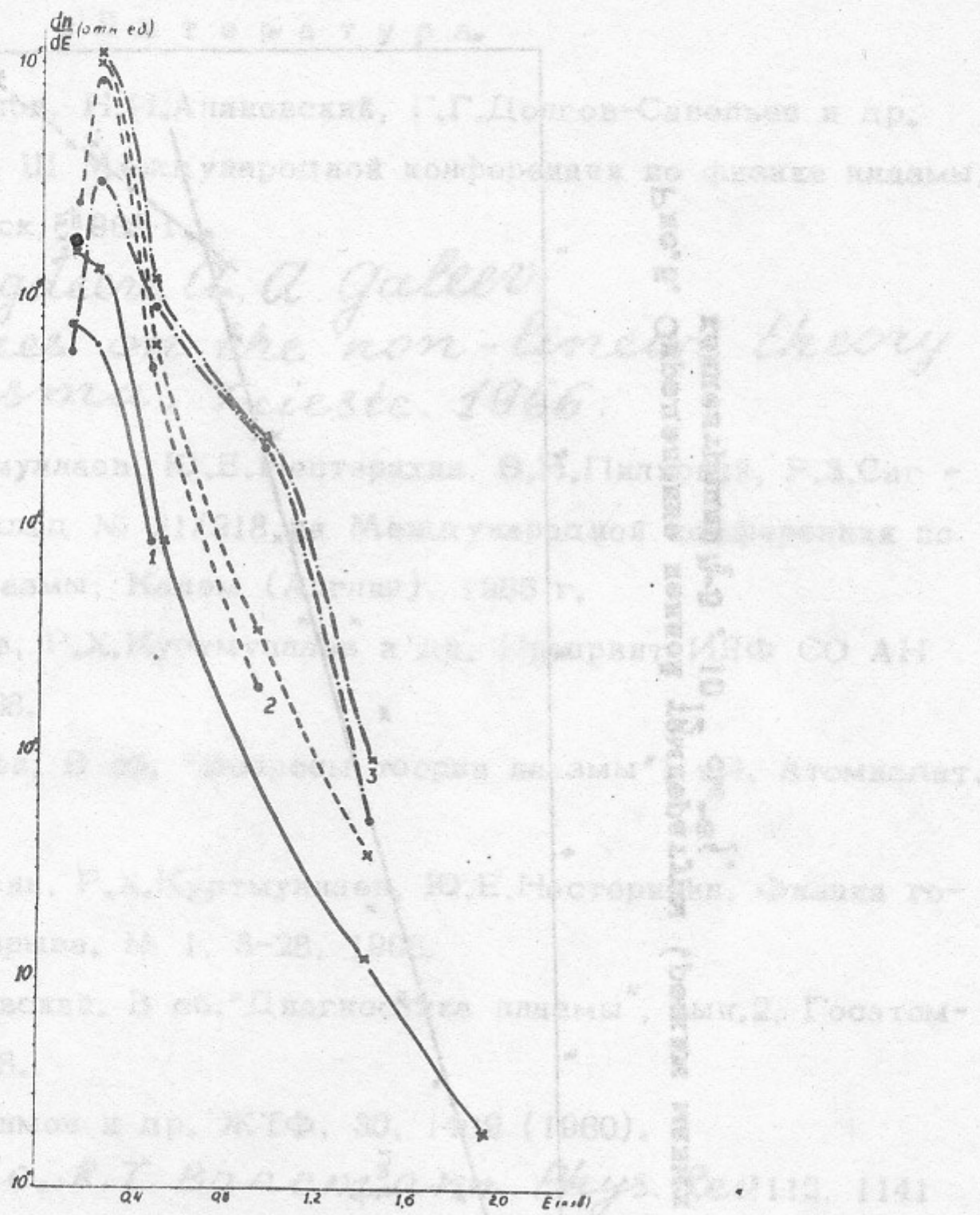


Рис.4. Энергетический спектр ионов (режим  $M > M^*$ ).

Фазы: 1 - "опрокидывания" волны,  
 2 - кумуляции волны,  
 3 - кумуляции волны на 2-ом полупериоде,  
 • - диаметральное,  $\times$  - хордовые измерения.

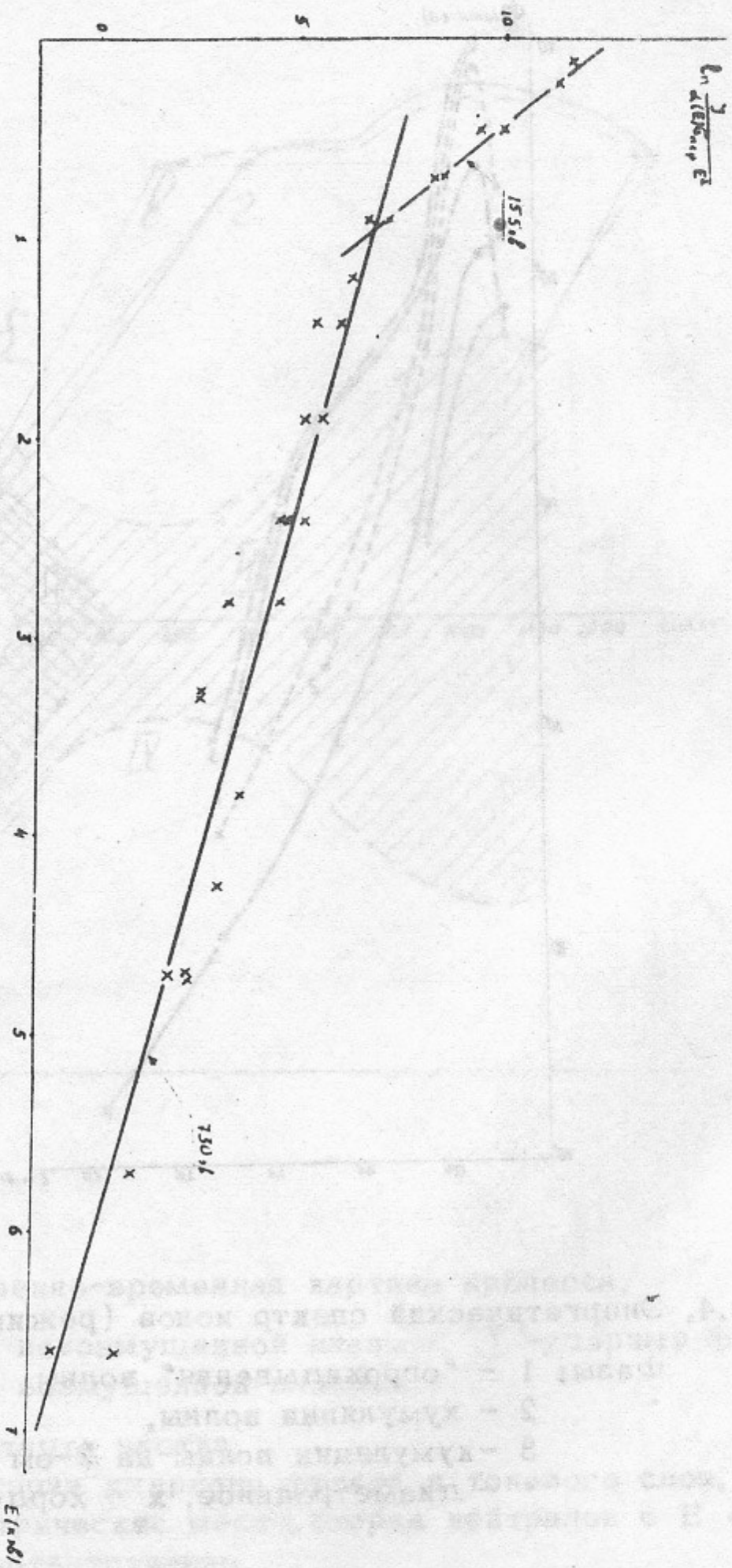


Рис.Б. Определение ионной температуры (режим малых концентраций №5;  $10 \text{ см}^{-3}$ ).

## Л и т е р а т у р а

1. С.Г.Алиханов, Н.И.Алиновский, Г.Г.Долгов-Савельев и др.  
Доклад на III Международной конференции по физике плазмы.  
Новосибирск, 1968 г.
2. R. Z. Sagdeev, A. A. Galeev.  
*Lectures on the non-linear theory  
of plasma. Trieste. 1966.*
3. Р.Х.Куртмуллаев, Ю.Е.Нестерихин, В.И.Пильский, Р.З.Саг -  
деев. Доклад № 21/218 на Международной конференции по  
физике плазмы, Калэм (Англия), 1965 г.
4. А.Г.Еськов, Р.Х.Куртмуллаев и др. Препринт ИЯФ СО АН  
СССР, 1968.
5. Р.З.Сагдеев. В сб. "Вопросы теории плазмы", т.4. Атомиздат,  
1964.
6. Ю.А.Березин, Р.Х.Куртмуллаев, Ю.Е.Нестерихин. Физика го-  
рения и взрыва. № 1, 3-28, 1966.
7. Н.И.Алиновский. В сб."Диагностика плазмы", вып.2, Госатом-  
издат, 1968.
8. В.В.Афросимов и др. ЖТФ, 30, 1469 (1960).
9. W. Z. Fite, R. T. Bwastmann. Phys. Rev. 112, 1141  
(1958).
10. Р.Х.Куртмуллаев и др. "Письма в ЖЭТФ", т.7, вып.2, 65-69.  
(1968).

Ответственный за выпуск Алиновский Н.И.

Подписано к печати 23.УШ.1968 г.

Усл. 1,3 печ.л., тираж 350 экз.

Заказ № 246. Бесплатно

Отпечатано на ротапринте в ИЯФ СО АН СССР, нв...